

## بررسی اثر چرخش قطره بر نرخ انتقال حرارت آن در تعامل با یک جفت ورتس

زهرا طالبپور<sup>۱</sup>، حمید نیازمند<sup>۲\*</sup>

- ۱- دانشجوی کارشناسی ارشد، مهندسی مکانیک، دانشگاه فردوسی مشهد، مشهد  
 ۲- استاد، مهندسی مکانیک، دانشگاه فردوسی مشهد، مشهد  
 \* مشهد، صندوق پستی ۹۱۷۷۹۴۸۹۴۴

### چکیده

اثرات متقابل بین ساختارهای گردابهای و ذرات یا قطرات کروی از موضوعات کاربردی در جریان‌های دو فازی می‌باشد. این تعامل‌ها به ویژه در زمانی که همراه با چرخش قطره باشند، موجب تغییرات عمده‌ای در میدان جریان می‌شوند. همچنین مشاهده شده است که نرخ انتقال حرارت قطره در طی زمانی که هسته ورتس‌ها در نزدیکی آن قرار دارند، بطور قابل ملاحظه‌ای تحت تأثیر قرار می‌گیرد. در این مقاله، انتقال حرارت گذراشی یک قطره کروی چرخشی در تعامل با یک جفت ورتس در جریان لزج و تراکم ناپذیر با استفاده از حل عددی معادلات تاویر - استوکس و انرژی در محدوده  $20 \leq Re \leq 100$  و سرعت چرخشی بین  $0 \leq \Omega \leq 1$  با کد محاسباتی که به زبان فرتون توسعه نویسنده‌گان یافته، مطالعه شده است. به منظور اطمینان از صحت محاسبات، نتایج با داده‌های عددی گزارش شده در مقالات مقایسه و هماهنگی خوبی بین نتایج مشاهده گردید. سپس اثر جهت گردش دو ورتس در تعامل با قطره دارای چرخش بر نرخ انتقال حرارت آن بررسی شد همچنین توزیع ضربی انتقال حرارت در سطح قطره با چرخش جداگانه حول سه محور متفاوت در دو حالت تعامل و عدم تعامل با ورتس‌ها بررسی و نتایج مربوط به تغییرات ضربی انتقال حرارت ارائه شده است. نتایج نشان می‌دهند که چرخش قطره تا مقادیر  $\Omega \leq 0.5$ ، اثرات قابل پیش‌بینی بر نرخ انتقال حرارت قطره در دو حالت ضرور و عدم حضور ورتس‌ها در میدان جریان دارد؛ اما، با افزایش پیچش قطره، اثرات قابل توجهی در ضربی انتقال حرارت مشاهده شده که با توجه به جهت گردش ورتس‌ها، مقاییر متفاوتی بدست آمده است.

### اطلاعات مقاله

مقاله پژوهشی کامل
دریافت: ۰۶ اردیبهشت ۱۳۹۵
پذیرش: ۱۰ مرداد ۱۳۹۵
ارائه در سایت: ۲۱ شهریور ۱۳۹۵
کلید واژگان:

تعامل ورتس - قطره  
جریان تراکم ناپذیر  
ضرب انتقال حرارت  
قطره  
ورتس

## Analyzing the Effect of Particle Rotation on its Heat Transfer Rate while Interacting with a pair of Vortices

Zahra Talebpour, Hamid Niazmand\*

Department of Mechanical Engineering, Ferdowsi University, Mashhad, Iran  
 \* P.O.B. 9177948944 Mashhad, Iran, niazmand@um.ac.ir

### ARTICLE INFORMATION

Original Research Paper  
 Received 25 April 2016  
 Accepted 31 July 2016  
 Available Online 11 September 2016

Keywords:  
 Vortex-Droplet Interaction  
 Incompressible Flow  
 Heat Transfer Coefficient  
 Droplet  
 Vortex

### ABSTRACT

The interaction between vortical structures and spherical particles or droplets is of practical issue in two-phase flows. The interactions bring major changes in the flow field particularly when coupled with particle rotation. It is observed that the heat transfer rate is significantly influenced during the time that the vortices' cores are in the vicinity of the particle. In this paper, transient heat transfer of a rotating spherical particle interacting with a pair of vortices in incompressible and viscous flow is studied using numerical solution of the Navier-Stokes and energy equations in the range of  $20 \leq Re \leq 100$  and non-dimensional rotational velocities  $0 \leq \Omega \leq 1$ ; by computational code which has been developed by the authors. In order to ensure the accuracy of the calculation, the results are compared with numerical data reported in the literature and good agreement between results was observed. Then the effect of circulation direction of two vortices interacting with a particle by spin on its heat transfer rate was investigated. Also, distribution of heat transfer coefficient at the particle surface with separate rotation around three different axes in two cases of interacting and non-interacting with vortices is given and the results of heat transfer coefficient are presented. The results show that particle rotation for  $\Omega \leq 0.5$ , in both presence and absence of vortices in flow field has negligible effects on the particle heat transfer rate; however, with increasing particle spin significant effects on heat transfer coefficient has been observed that, due to the circulation direction of vortices, different amounts are obtained.

این حوزه از علم مکانیک می‌باشد. طراحی صحیح و بهینه این سیستم‌ها و تجهیزات، نیازمند درک صحیحی از دینامیک، نرخ گرم شدن، توزیع دما و ...

این قطرات تزریق شده می‌باشد.

در یک محفظه احتراق قطرات تزریق شده در طی فرآیند تمیزه شدن و

حرکت در لایه‌های برشی میدان جریان، حرکت چرخشی بدست می‌آورند که

این چرخش به طور معمول حول معکور دلخواه‌ای در فضا ایجاد می‌شود [۱].

### ۱- مقدمه

کاربردهای بسیار متنوع جریان اطراف قطره در صنایع مختلف آن را به حوزه تحقیق برای بسیاری از پژوهشگران و محققان تبدیل کرده است. محفوظه‌های احتراق با سیستم‌های تزریقی، سیستم‌های پاشش سوخت مایع، خشک-کننده‌های پاششی<sup>۱</sup>، برج‌های خنک‌کن و ... مثال‌هایی از کاربردهای متنوع

<sup>1</sup> Spray drying

توجهی در نرخ انتقال حرارت قطره بوجود آمده است. از این رو، دو ورتکس در دو موقعیت متفاوت که هر یک به طور مجزا اثرات متفاوتی بر دینامیک قطره دارند، با توجه به جهت گردش آنها و تأثیر آنها بر یکدیگر می‌توانند نتایج متفاوتی را در نرخ انتقال حرارت قطره چرخشی بدست دهنند. در این راستا، کیم و همکارانش تعامل بین یک جفت ورتکس با یک قطره جامد و ثابت در میدان جریان را مطالعه کرده‌اند [11]. آنها اثر تغییر موقعیت و شرایط اولیه سسته دو ورتکس را بر ضرایب آیروبدینامیکی قطره بررسی کرده‌اند و روابطی بین پارامترهای تأثیرگذار دو ورتکس و ضرایب برآی قطره بدست آورند.

با بررسی‌های انجام شده مشخص شد که تا کنون بر روی اثر تعامل یک جفت ورتکس بر نرخ انتقال حرارت از یک قطره با در نظر گرفتن چرخش آن حول محورهای متفاوت کار خاصی صورت نگرفته است. تعامل یک جفت ورتکسی که می‌توانند مدل ساده‌ای از یک جریان آشفته و گردابه‌ای باشند با قطره‌ای که در طی فرایند تشکیل آن توسط افشاگرانده و حضور آن در لایه‌های برشی جریان، مقادیر قابل توجهی از مومنتوم زاویه‌ای بدست می‌آورند.

نوآوری این مقاله نسبت به مطالعات انجام شده قبلی، بررسی عددی جهت مطالعه تعامل دو ورتکس با یک قطره با در نظر گرفتن چرخش قطره حول محورهای متفاوت و اثر آن بر ضریب انتقال حرارت قطره می‌باشد. در این مقاله با فرض ساختار مشابه برای ورتکس‌ها، مطالعه خود را به بررسی اثر جهت گردش دو ورتکس محدود می‌کنیم. ورتکس‌ها در یک میدان جریان لزج و تراکم‌ناپذیر همراه با جریان یکنواخت ورودی با قطره برخورد کرده و از آن عبور می‌کنند و در طی این تعامل‌ها اثر سرعت چرخشی قطره در حوزه  $Re \leq 100$  با عدد پرانتل  $Pr=1$  بررسی می‌شود. چهار حالت مختلف برای جهت گردش دو ورتکس در نظر گرفته شده که برای هر کدام مقادیر مختلف سرعت چرخشی ( $0 \leq \Omega \leq 1$ ) در سه راستای مختلف عمود بر جهت اصلی جریان ( $\Omega_x$ )، موازی با آن ( $\Omega_y$ ) و چرخش در هر دو جهت بررسی شده‌اند. در نهایت رابطه‌ای با در نظر گرفتن تغییرات سرعت چرخشی  $\Omega$  برای ضریب انتقال حرارت قطره ارائه شده است.

## 2- توصیف جریان و ساختار ورتکس‌ها

یک نمایش ساده از پیکربندی جریان در "شکل 1" ارائه شده است. جریانی لزج، تراکم‌ناپذیر و ناپایدار در جهت مثبت محور  $x$  از روی یک قطره تک دما به شعاع  $R$  عبور می‌کند. قطره نیز به طور ناگهانی در میدان جریان قرار گرفته است و مرکز آن در مبدأ دستگاه مختصات کارتزین می‌باشد. همچنین، فرض شده که قطره ثابت است و جریان یکنواخت با سرعت  $U_\infty$  که در واقع سرعت نسبی بین فاز گاز و مایع (قطره) است و حامل دو ورتکس می‌باشد، از روی قطره عبور می‌کند. با توجه به شکل، چرخش قطره حول سه محور بهصورت جداگانه در نظر گرفته شده که در طی فرایند اتمیزه شدن و حضور در لایه‌های برشی جریان بدست آورده است. با توجه به نتایج ارائه شده در مطالعات قبلی [12,10] در زمانی که قطره همراه با چرخش باشد، یک ورتکس در دو موقعیت متفاوت بالا و پایین محور  $z$  تأثیر متفاوتی بر نرخ انتقال حرارت از قطره دارد که با توجه شکل، قرارگیری همزمان دو ورتکس در این دو موقعیت، ممکن است نتایج متفاوتی را داشته باشد. این دو ورتکس قبل از برخورد با قطره بر یکدیگر اثر گذاشته که جهت گردش آنها می‌تواند بر سرعت حرکتشان و نیز تغییرات زمانی ضریب انتقال حرارت قطره در طی عبور آنها تأثیر متفاوتی بگذارد. همان‌طور که در شکل مشاهده می‌شود، با فرض ساختار مشابه برای دو ورتکس، فاصله اولیه مرکز آنها از محور  $x$  که

بررسی جریان بر روی قطره با محورهای چرخش موازی و عمود بر راستای اصلی جریان می‌تواند اطلاعات اساسی را در زمینه اثر چرخش در دینامیک قطره فراهم نماید. خصوصیات میدان جریان برای هر دو حالت چرخش قطره در جهت جریان (پیچش<sup>1</sup>) و عمود بر آن (چرخش<sup>2</sup>)، کاملاً متفاوت از هم می‌باشند. چرخش، ناحیه چرخشی در دنباله قطره را جابجا و کوچک می‌کند که در سرعت‌های چرخشی بالا این ناحیه به طور کامل محو می‌شود [2]؛ در حالیکه پیچش اثری معکوس دارد. قطرات دارای چرخش، با طیف وسیعی از گردابه‌های آشفته در تعامل می‌باشند که این گردابه‌ها را می‌توان به صورت مجموعه‌ای از ورتکس‌هایی در نظر گرفت که در زمان اسپری مایع در محفظه شکل گرفته‌اند [4,3]. در ارتباط با تعامل یک قطره با ساختارهای گردابه‌ای، ابعاد آنها را می‌توان کوچکتر یا کمی بزرگتر از قطره در نظر گرفت. این ساختارهای کوچک توانایی تولید تغییرات بزرگی در لایه مزدی و دنباله نزدیک قطره را دارند. ساختار و تغییرات دنباله قطره، اثرات شدیدی بر رفتار نیروهای آیروبدینامیکی وارد بر قطره و بهویژه بر نرخ انتقال حرارت از آن دارد و بنابراین، بررسی این موضوع برای اطلاع از رفتار قطرات در یک محیط همفرتی دارای ساختارهای گردابه‌ای ضروری به نظر می‌رسد.

مطالعات بسیاری در رابطه با چرخش قطره در محدوده اعداد رینولدز  $Re < 300$  وجود دارد که از جمله آنها می‌توان مطالعه تجربی ساکاموتو و هانیو [5] و مطالعه و بررسی عددی کوروس و کوموری [6] را نام برد. کیم و چووی سه رژیم مختلف جریان را برای سرعت‌های زاویه‌ای متفاوت ایکو  $\Omega$  به روش عددی بررسی کرده‌اند [7]. نتایج آنها نشان می‌دهد که نیروهای عمل-کننده بر روی قطره تحت تأثیر پیچش می‌باشند و در نتیجه آن دنباله پشت قطره به طور قابل ملاحظه‌ای تغییر می‌کند. نیازمند و رنکسیزوبلوت [8] اثر پیچش و دمش سطحی را بر ضرایب پسا و برآ و ضریب انتقال حرارت یک قطره سوخت در محدوده اعداد رینولدز  $300 \leq Re \leq 10$  و سرعت چرخشی  $\Omega \leq 2$  به روش عددی بررسی کرده‌اند. آنها پی برداشند که پیچش باعث افزایش ضریب پسا در کل این بازه اعداد رینولدز می‌شود، در حالیکه ضریب برآ تغییرات غیر یکنواختی از خود نشان می‌دهد. برای  $\Omega < 0.5$  ضریب انتقال حرارت تحت تأثیر قرار نمی‌گیرد، و پس از آن به طور یکنواخت افزایش می‌باشد. در نهایت رابطه‌ای بین مقادیر مختلف سرعت چرخشی و دمش سطحی برای ضریب پسا و نرخ انتقال حرارت قطره ارائه شده است. همان محققان تعامل بین یک ورتکس و یک قطره سوخت را در نظر گرفته‌اند. آنها اثر عوامل مختلفی از قبیل قدرت، موقعیت اولیه، اندازه و جهت گردش ورتکس و همچنین اثر عدد رینولدز جریان و سرعت چرخشی قطره حول سه راستای مختلف (محور  $x$  موافق با راستای جریان، محور  $z$  عمود بر جهت جریان و محوری در صفحه  $(x-z)$ ) را بر نیروهای آیروبدینامیکی وارد بر قطره و نرخ انتقال حرارت از آن بررسی کرده‌اند و با در نظر گرفتن دمش سطحی بر روی قطره و بررسی اثر آن بر عدد ناسلت<sup>3</sup> ( $Nu$ ) رابطه‌ای بین پارامترهای موثر برای ضریب انتقال حرارت بیان کرده‌اند [10,9].

در طی پاشش قطرات به محیط همفرتی و تعامل بین آنها و ورتکس-هایی با اندازه، قدرت و موقعیت‌های متفاوت، تغییراتی در نرخ انتقال حرارت قطرات بوجود می‌آید. همان‌طور که ذکر شد در مرجع [10] دینامیک قطره همراه با چرخش در طی تعامل با یک ورتکس بررسی شده است که مشاهده شده با تغییر در موقعیت اولیه ورتکس نسبت به قطره چرخشی، تغییرات قابل

<sup>1</sup> Spin

<sup>2</sup> Rotation

<sup>3</sup> Nusselt number

$$\int_A \vec{V} \cdot \vec{n} dA = 0 \quad (6)$$

$$\frac{\partial}{\partial t} \int_V \vec{V} dV + \int_A \vec{V} \vec{V} \cdot dA = - \int_A p \vec{n} dA + \frac{2}{Re} \int_A \nabla \vec{V} \cdot \vec{n} dA \quad (7)$$

$$\frac{\partial}{\partial t} \int_V T dV + \int_A T \vec{V} \cdot \vec{n} dA = \frac{2}{Re Pr} \int_A \nabla T \cdot \vec{n} dA \quad (8)$$

که  $\vec{A}$  و  $\vec{n}$  به ترتیب مساحت المان، بردار سرعت و بردار یکه در جهت عمود بر سطح المان می‌باشند. این معادلات با استفاده از شاعع قطره  $R$  و سرعت جریان آزاد  $U_\infty$  به ترتیب به عنوان طول مشخصه و سرعت مشخصه بی‌بعد شده‌اند.  $\tau$  مقیاس زمانی است که برای آن رابطه  $\tau = t U_\infty / R$  داریم و  $t$  زمان می‌باشد که در این مطالعه، گام زمانی بی‌بعد  $\Delta\tau = 0.015$  در نظر گرفته شده است. عدد رینولدز بر اساس قطر قطره ( $D$ ) به صورت  $Re = U_\infty D / v$  تعیف شده است که در آن  $v = \mu / \rho$  و  $\rho$  به ترتیب ویسکوزیته دینامیکی و چگالی سیال (ویسکوزیته سینماتیکی) می‌باشد. دمای بی‌بعد سیال در معادلات حاکم نیز به صورت  $T = (T_f - T_\infty) / (T_\infty - T_\infty)$  تعیف می‌شود که  $T_f$  دمای سیال،  $T_\infty$  دمای جریان یکنواخت ورودی و  $T_s$  دمای سطح قطره می‌باشد.

برای محاسبه نرخ انتقال حرارت لحظه‌ای از مقدار متوسط آن بر روی سطح قطره استفاده می‌شود که توسط عدد ناسلت گذرا ( $Nu$ ) به صورت زیر بیان می‌شود:

$$Nu(\tau) = \frac{hD}{k} = \frac{1}{A} \int_A \nabla T \cdot \vec{n} dA \quad (9)$$

که  $h$  و  $k$  به ترتیب ضرایب انتقال حرارت جابجایی و هدایتی می‌باشند. متوسط زمانی عدد ناسلت نیز در طی دوره  $(\tau_2 - \tau_1)$  در طول تعامل ورتسکس‌ها با قطره به صورت زیر محاسبه می‌شود:

$$\bar{Nu} = \frac{1}{(\tau_2 - \tau_1)} \int_{\tau_1}^{\tau_2} Nu(\tau) d\tau \quad (10)$$

### 3-1-3- شرایط مرزی و شرایط اولیه

شکل در مجاورت سطح قطره با ضریب انبساط در جهت شعاعی ( $r$ ) به دلیل تغییرات شدید در این ناحیه ریز شده است. مرز خارجی حوزه مورد بررسی یا پیکسان  $\Gamma_0$  که در رینولدزهای متوسط معمولاً به فاصله 20 برابر شاعع قطره دورتر از آن در نظر گرفته می‌شود، به دو قسمت جریان ورودی (از نقطه سکون جلویی  $\theta_{out}$ ) و جریان خروجی (از  $\theta_{out}$ ) تا نقطه سکون پشت قطره تقسیم شده است. زاویه خروج ( $\theta_{out}$ ) در  $Re=100$  با توجه به تجربه دیگر محققان [15, 14.9] 120 درجه می‌باشد. شرایط مرزی در قسمت ورودی مرز خارجی به صورت سرعت یکنواخت ورودی ( $u=1, v=w=0$ ) و  $T=0$  و در قسمت خروجی مرز خارجی ( $\theta \geq 120^\circ$ ) به صورت گرادیان صفر تمامی مولفه‌های سرعت و دما در راستای خطوط جریان در نظر گرفته شده است. مزهای  $=1$  و  $\leq 120^\circ$  بر روی محور  $x$  دستگاه کارتزین قرار دارند و از متوسط‌گیری سمتی<sup>1</sup> مرتبه اول برای بدست آوردن این نقاط استفاده شده است. در مرز متنابوب یا جهت  $/$  دو نقطه از شبکه با هم تداخل دارند و شرایط مرز متنابوب در این جهت تحمیل شده است. همچنین روی سطح قطره با شرط عدم لغزش، شرط مرزی تساوی تنش‌های برشی و سرعت‌های مماسی و تساوی دمای قطره و دمای سیال برقرار می‌باشد. عدد وبر (We =  $\rho U_\infty^2 D / \sigma$ ) که به صورت تابعی از چگالی سیال، قطر قطره، تنش سطحی قطره ( $\sigma$ ) و سرعت جریان یکنواخت (با توجه به

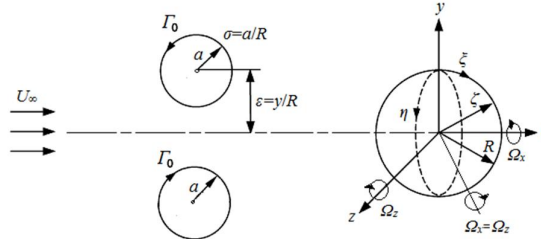


Fig. 1 Flow geometry and coordinates

شکل ۱ هندسه جریان و دستگاه مختصات

با استفاده از شاعع قطره بی‌بعد شده است، می‌باشد. ورتسکس‌ها ابتدا در فاصله محوری 10 برابر شاعع قطره از مرکز آن در جریان بالا دست قرار گرفته‌اند و همراه با جریان آزاد به سمت قطره حرکت می‌کنند. در این فاصله اثر ورتسکس‌ها بر روی قطره قابل چشم‌پوشی می‌باشد، زیرا مقدار سرعت ناشی از دو ورتسکس در نزدیکی قطره، کمتر از دو درصد سرعت جریان آزاد می‌باشد. ورتسکس‌ها که ورتسکس رنکین [13] نیز نامیده می‌شوند، همان ویژگی‌هایی دارند که توسط کیم و همکارانش [14] بکار رفته است.  $\sigma = a/R$  شاعع اولیه بی‌بعد هسته ورتسکس‌ها است که درون این هسته، سرعت القا شده از مقدار صفر در مرکز هسته به ماکریم سرعت مماسی در شاعع  $r = a$  می‌رسد که با  $V_{max}$  (بعد شده به وسیله  $U_\infty$ ) نشان داده می‌شود. در پیرون از این هسته ( $r > a$ )، میدان سرعتی توسط ورتسکس‌ها ایجاد شده که در  $r \rightarrow \infty$  ناپدید می‌شود. هر یک از دو ورتسکس به صورت یک ورتسکس سه‌بعدی استوانه‌ای در حوزه حل ایجاد می‌شود که باتابع جریان زیر قابل بیان است [14]:

$$\psi(x, y, z, t = 0) = -\frac{\Gamma_0}{2\pi} \ln[(x - x_0)^2 + (y - y_0)^2 + \sigma^2] \quad (1)$$

که در آن  $\Gamma_0 = 2\pi\sigma V_{max}$  گردش اولیه ورتسکس در شاعع  $a$  می‌باشد که برای دو ورتسکس پیکسان و در گردش ساعتگرد مشتب فرض شده است.  $x_0$  و  $y_0$  نیز موقعیت اولیه مرکز هسته ورتسکس در صفحه  $(x-y)$  می‌باشند. با توجه به خطی بودن معادله تابع جریان ارائه شده و استفاده از اصل برهمنهی، برای یک جفت ورتسکس تابع جریان به صورت معادله (2) می‌باشد [11]:

$$\psi_t(x, y, z, t = 0) = -\sum_{i=1}^2 \frac{\Gamma_0}{2\pi} \ln[(x - x_i)^2 + (y - y_i)^2 + \sigma^2] \quad (2)$$

میدان سرعت اولیه حاصل از یک ورتسکس به وسیله معادله (3) و (4) بیان می‌شوند:

$$u_0(x, y, z, t = 0) = \frac{\partial \psi}{\partial y} = -\frac{\Gamma_0}{\pi} \frac{y - y_0}{[(x - x_0)^2 + (y - y_0)^2 + \sigma^2]} \quad (3)$$

$$v_0(x, y, z, t = 0) = \frac{\partial \psi}{\partial x} = -\frac{\Gamma_0}{\pi} \frac{x - x_0}{[(x - x_0)^2 + (y - y_0)^2 + \sigma^2]} \quad (4)$$

میدان فشار اولیه تحمیل شده توسط یک ورتسکس نیز از تعادل شتاب گریز از مرکز با گرادیان فشار در جهت شعاعی به صورت معادله (5) بدست می‌آید:

$$p_0(x, y, z, t = 0) = -\frac{\Gamma_0^2}{2\pi^2} \frac{1}{[(x - x_0)^2 + (y - y_0)^2 + \sigma^2]} \quad (5)$$

### 3- معادلات حاکم

معادلات حاکم شامل معادله پیوستگی، مومنتوم و انرژی برای جریان آرام سیال نیوتونی با خواص ثابت، جهت تعیین دما، فشار و مولفه‌های سرعت به صورت زیر می‌باشند:

<sup>1</sup> Azimuthal

مختصات عمومی  $(r, \theta, \phi)$ , که در واقع در این پژوهش با دستگاه مختصات کروی  $(r, \theta, \phi)$  هم راستا می‌باشد، با در نظر گرفتن فاصله‌های یکنواخت  $(\Delta r = \Delta \theta = \Delta \phi = 1)$  انجام شده است. از امتیازات الگوریتم بکار گرفته شده این است که نیازی به استفاده از شبکه جریان جابجا شده نیست و تمام متغیرها به گره‌هایی که حجم‌های کنترلی در اطراف آن‌ها ساخته می‌شوند، نسبت داده می‌شود. برای بدست آوردن خصوصیات در سطح هر حجم کنترلی از متوسط‌گیری استفاده شده است. در این راستا، در کد محاسباتی که به زبان فرترن توسط نویسنده‌گان توسعه یافته است، گسته‌سازی مشتقات معادلات حاکم بدین صورت انجام شده است: گسته‌سازی مشتقات زمانی با استفاده از طرح وارونه سه نقطه‌ای<sup>1</sup> با دقت مرتبه دوم انجام شده و بسط تفاضل مرکزی برای گسته‌سازی ترم‌های لزج استفاده شده است. همچنین بسط تفاضل مرکزی به روش اصلاح معوق برای ترم‌های جابجایی پس از خطی‌سازی آن‌ها با استفاده از بهترین تقریب موجود مولفه‌های سرعت از تکرار قبل بکار رفته است.

به دلیل اینکه اغلب سرعت حرکت قطرات در هوا کم بوده و عدد ماخ مربوطه کوچکتر از 0.3 است، جریان سیال تراکم‌ناپذیر در نظر گرفته می‌شود. یکی از مشکلاتی که در حل معادلات ناوبر-استوکس در این نوع از جریان‌ها وجود دارد، محاسبه میدان فشار است، زیرا یک معادله مستقل زمانی برای محاسبه فشار وجود ندارد. برای محاسبه توزیع زمانی فشار، نیاز به معادله‌ای صریح است که شامل عبارت فشار باشد. بنابراین از یک روش مشابه پروژکشن<sup>2</sup> استفاده شده است که اولین بار توسط چورین از دانشگاه برکلی در سال 1968 ارائه شد [16] و سپس توسط دویر در سال 1989 [17] بهبود یافته است. این روش یک روش حل دو مرحله‌ای می‌باشد که در مرحله اول معادلات مومنتوم با استفاده از میدان فشار مرحله قبل (در اولین گام زمانی با استفاده از حدس اولیه) حل می‌شوند. در مرحله دوم تصحیح کننده‌های فشار و سرعت با یک معادله پواسون محاسبه و حوزه سرعت و فشار تصحیح می‌شوند [16].

#### 4- اعتبارسنجی حل عددی و استقلال نتایج از شبکه

تعییرات مقدار متوسط زمانی عدد ناسلت در طی تعامل قطره با یک ورتکس منفرد در موقعیت اولیه 10 شاعع قطره در جریان بالادست و  $\epsilon=2$ ، با شاعع هسته  $\sigma=3$  و ماکریم سرعت مماسی  $V_{max}=0.3$ ، به صورت تابعی از زمان بی‌بعد  $(t)$  در دو عدد رینولدز 20 و 100 در "شکل 3" آورده شده و با نتایج دیگر محققان مقایسه شده است. این شکل نیز نشان‌دهنده تطبیق بسیار خوب نتایج حل عددی حاضر با نتایج دیگر محققان می‌باشد. همان‌طور که مشاهده می‌شود، تعییراتی که در ضربی انتقال حرارت قطره در برخورد یک ورتکس با آن رخ می‌دهد، در  $Re=100$  بیشتر از  $Re=20$  می‌باشد و این اختلاف را می‌توان به ازاء مقدار متوسط  $Nu$  در طی دوره  $\tau_1=5$  تا  $\tau_2=25$ ، حدود 66.32 در نظر گرفت. به این دلیل که اثرات لزج در اعداد رینولدز پایین‌تر غالب می‌باشند و تعییرات اینرسی را که توسط ورتکس ایجاد شده، دمپ می‌کنند. به منظور بررسی استقلال نتایج از شبکه، نتایج بدست آمده برای عدد ناسلت قطره صلب در  $Re=100$  در تعامل با دو ورتکس مشابه در فاصله اولیه  $\epsilon=\pm 1.5$  با شاعع هسته  $\sigma=1$  و قدرت  $V_{max}=0.4$  در "جدول 1" به ازای چند شبکه با تعداد گره متفاوت آورده شده است. با توجه به جدول، با افزایش تعداد گره‌ها از  $81*50*81$  به  $81*62*91$  میزان تعییرات عدد ناسلت در حدود 0.1 درصد است. با توجه به این مطلب، شبکه با تعداد گره 81 در

ثبت بودن قطره در جریان) می‌باشد، با فرض به اندازه کافی بزرگ بودن تنفس سطحی قطره، کوچک می‌باشد و قطره در طی تعامل با ورتکس‌ها به شکل کره باقی می‌ماند. مولفه‌های سرعت بر روی سطح قطره با سرعت چرخشی  $\Omega_z = R\omega_z/U_\infty$  سرعت چرخشی قطره حول محور  $z$  و  $\theta$  و مولفه‌های دستگاه مختصات کروی حول محور  $z$  در جهت ساعتگرد به وسیله معادله‌های (11) بیان می‌شوند:

$$u = \Omega_z \cos \varphi \sin \theta, \quad v = \Omega_z \cos \varphi \cos \theta, \quad w = 0 \quad (11-a)$$

به طور مشابه، برای سرعت چرخشی  $\Omega_x$  حول محور  $x$ ، مولفه‌های سرعت به صورت زیر می‌باشند:

$$u = 0, \quad v = -\Omega_x \sin \varphi \sin \theta, \quad w = \Omega_x \cos \varphi \sin \theta \quad (11-b)$$

و با چرخش حول محوری بین دو محور  $z$  و  $x$ ، مولفه‌های سرعت به صورت زیر بیان می‌شوند:

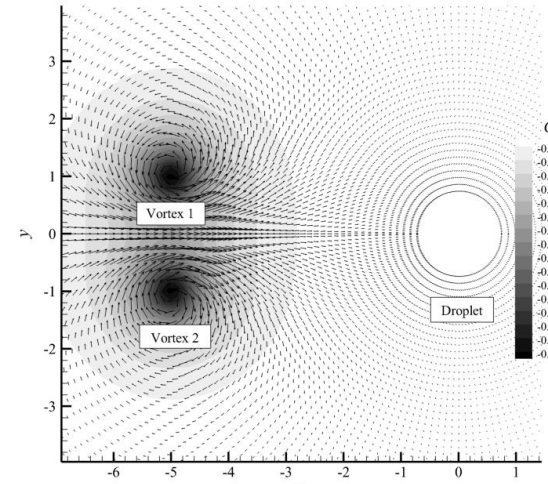
$$u = \Omega_z \cos \varphi \sin \theta, v = \Omega_z \cos \varphi \cos \theta - \Omega_x \sin \varphi \sin \theta, w = \Omega_x \cos \varphi \sin \theta \quad (11-c)$$

با توجه به آنچه تا اینجا گفته شد، در زمان  $t=0$  حوزه سرعت، فشار و دما بدون در نظر گرفتن ورتکس به صورت  $u=w=0$  و  $T=0$  و  $P=0$  جریان آزاد یکنواخت می‌باشد که با حضور ورتکس‌ها در میدان جریان، مقادیر اولیه مولفه‌های سرعت و فشار با استفاده از انتطباق میدان جریان القایی توسط دو ورتکس بر روی جریان آزاد یکنواخت به صورت معادله (12) خواهد شد:

$$u_{t=0} = 1 + u_0^1 + u_0^2, \quad v_{t=0} = -v_0^1 - v_0^2, \quad w_{t=0} = 0, \quad p_{t=0} = p_0^1 + p_0^2 \quad (12)$$

که  $p_0$  در معادله (5) داده شده است و اندیس‌های 1 و 2 به ترتیب مربوط به ورتکس اول و دوم در کد محاسباتی می‌باشند. در "شکل 2"، توزیع فشار و سرعت اولیه حاصل از حضور دو ورتکس در میدان جریان نشان داده شده است. دو ورتکس در موقعیت اولیه 10 شاعع قطره و  $\epsilon=\pm 2$  در جریان بالا-دست قطره قرار گرفته‌اند و جهت گردش آن‌ها عکس یکدیگر می‌باشد.

#### 3-2- الگوریتم حل عددی گسته‌سازی معادلات با استفاده از روش حجم کنترلی و در یک دستگاه



شکل 2 میدان سرعت اولیه تحمیل شده فقط به وسیله یک جفت ورتکس

<sup>1</sup> Three-point backward scheme

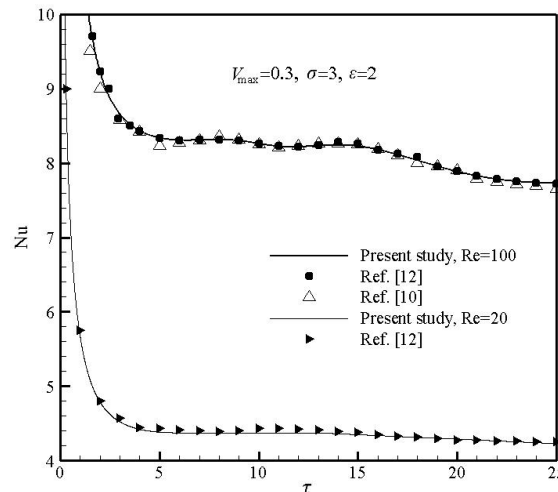
<sup>2</sup> Projection

قطره حرکت می‌کند. ورتكس بالایی و پایینی به ترتیب گردشی درجه ساعتگرد و پادساعتگرد دارند. کانتورها در هفت زمان بی بعد  $t=1.5, 2, 4, 8, 16, 21$  و  $30$  آورده شده‌اند. مقادیر کانتور و رتبه‌سیته برابر با  $0.09$  می‌باشد. سطح قطره می‌باشد و خطچین‌ها نیز برای مقادیر منفی آن در میدان جریان استفاده شده‌اند. شکل ۴a خطوط جریان در طی تعامل یک جفت ورتكس با قطره غیر چرخشی در صفحه  $(x-y)$  را نشان می‌دهد. در شکل‌های ۴(b-c) بهترین خطوط جریان و کانتور مولفه  $z$  و رتبه‌سیته در طی تعامل یک جفت ورتكس با همان شرایط با یک قطره با سرعت چرخشی  $\Omega=0.25$  نشان داده شده است. چرخش ساعتگرد قطره منجر به عدم تقارن خطوط جریان شده و نیز باعث از بین رفتن ناحیه چرخشی در ذباله قطره شده است. در  $t=1.5$  ورتكس‌ها در فاصله  $4.5R$  در جریان بالادست و در حدود  $t=8$  در مجاورت نقطه سکون جلویی آن قرار می‌گیرند. ورتكس بالایی با گردش ساعتگرد از روی نیمکره بالایی قطره و ورتكس پایینی با گردش پادساعتگرد از ناحیه زیرین آن عبور می‌کند. در  $t=13.5$  ورتكس‌ها بیشترین تعامل را با قطره دارند و بیشترین تغییرات را در لایه مرزی قطره ایجاد می‌کنند. بعد از این لحظه، ورتكس‌ها در تعامل با ذباله قطره قرار می‌گیرند و از زمان  $t=18$  از قطره دور می‌شوند تا اینکه در  $t=30$  خطوط جریان و توزیع ورتیسیته در اطراف قطره به حالتی می‌رسد که تنها مربوطه حضور قطره با و بدون چرخش در میدان جریان می‌باشد.

"شکل ۵(a-b)"، خطوط جریان را در اطراف قطره بدون چرخش و با چرخش حول محور موازی با راستای جریان ( $\Omega_r$ ) نشان می‌دهد. لازم به ذکر است که خطوط جریان در این دو شکل از نقاط یکسانی در بالادست جریان رسم شده‌اند. در شکل ۵a، خطوط جریان از سطح قطره در زاویه  $126.14^\circ$  درجه (نسبت به نقطه سکون جلویی) جدا شده‌اند؛ یک ناحیه چرخشی نیز در قسمت ذباله قطره قابل مشاهده می‌باشد. با توجه به شکل ۵b پیچش قطره مسیر حرکت خطوط جریان نزدیک به سطح خود را تغییر داده است.

**۵-۱- اثر چرخش حول محور  $z$  ( $\Omega_z$ ) بر نرخ انتقال حرارت از قطره**  
در این بخش، مقدار متوسط عدد ناسلت در طی عبور دو ورتكس از روی قطره با سرعت چرخشی  $\Omega_z$  در چهار حالت گردش یکسان ساعتگرد و سپس پادساعتگرد بر هر دو ورتكس، گردش ساعتگرد و پادساعتگرد به ترتیب برای ورتكس بالایی و پایینی و در نهایت گردش پادساعتگرد برای ورتكس بالایی و ساعتگرد برای ورتكس پایینی گزارش شده است. شرایط و موقیع اولیه دو ورتكس در تمامی این حالت‌ها یکسان و به صورت  $\sigma=1$  و  $\varepsilon=\pm 1.5$  و قدرت  $V_{max}=0.3$  در فاصله  $10R$  در راستای محور  $x$  در جریان بالادست قطره در نظر گرفته شده است. مقدار متوسط عدد ناسلت در بازه زمانی  $30 \leq t \leq 5$  بدست آمده و با یکدیگر مقایسه شده‌اند. یک نتیجه‌گیری کلی نیز از نتایج بدست آمده برای نرخ انتقال حرارت قطره به ازای مقادیر متفاوت سرعت چرخشی قطره و جهت‌های گردش متفاوت دو ورتكس در پایان این بخش آورده شده است.

**۵-۲- تعامل یک جفت ورتكس با گردش یکسان ساعتگرد با قطره**  
یک جفت ورتكس مشابه با جهت گردش ساعتگرد در جریان بالادست به وسیله جریان یکنواخت با سرعت  $U$  به سمت قطره حرکت می‌کند. در "شکل ۶"، تغییرات حالت گذراشی ضریب انتقال حرارت قطره در طی عبور دو ورتكس از روی آن به ازای مقادیر مختلف سرعت چرخشی قطره حول محور



شکل ۳ تغییرات مقدار متوسط ضریب انتقال حرارت قطره در تعامل با یک ورتكس در مقایسه با نتایج دیگر محققان در رینولز ۲۰ و ۱۰۰ در مقایسه با نتایج دیگر محققان در رینولز ۲۰ و ۱۰۰

جدول ۱ اثر تعداد گره‌های شبکه بر عدد ناسلت قطره در تعامل با دو ورتكس مشابه با  $Re=100$ ,  $\varepsilon=\pm 1.5$ ,  $\sigma=1$ ,  $V_{max}=0.4$

Table 1 Effect of the number of grid nodes on Nusselt number for flow over a solid sphere at  $Re=100$ , interacting with a pair of vortices of  $V_{max}=0.4$ ,  $\sigma=1$  and  $\varepsilon=\pm 1.5$

Nu	نحوه
7.312	31*42*31
7.565	41*42*41
7.621	61*42*61
7.63	61*50*61
7.636	81*50*81
7.636	91*50*81
7.644	91*62*81

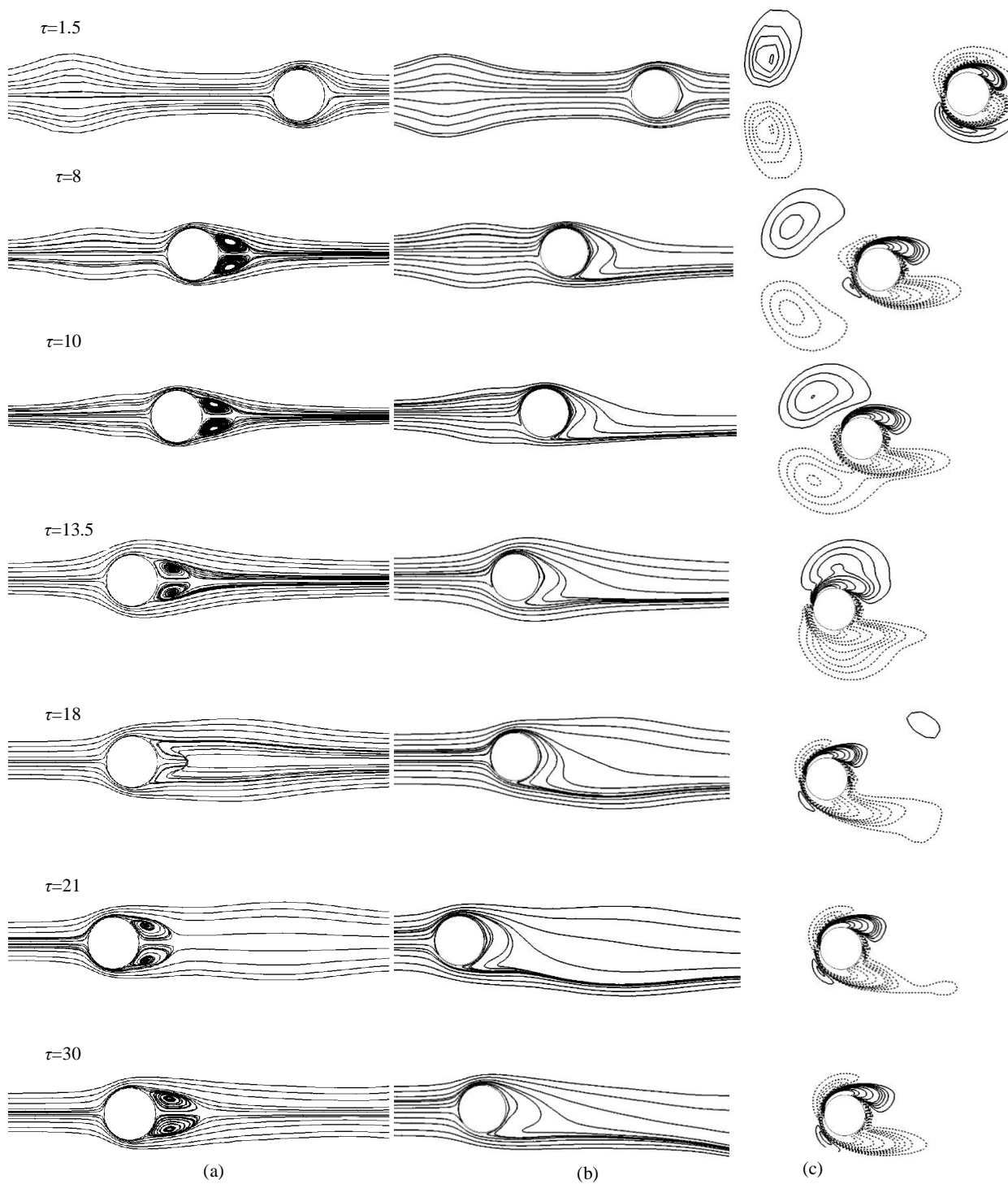
محیطی که شاعع خارجی آن  $20$  شعاع قطره از مرکز آن در نظر گرفته شده است، انتخاب گردید که از لحظه دقت، نتایج قبل قبولی بدست می‌دهد، همچنین با در نظر گرفتن هزینه محاسباتی کم، کارآمدترین شبکه می‌باشد.

## ۵- نتایج

پس از اعتبار سنجی حل عددی صورت گرفته، به بررسی جریان حول قطره با چرخش در سه راستای مختلف (عمود بر جهت اصلی جریان ( $\Omega_r$ )) موازی با آن ( $\Omega_z$ ) و چرخش در هر دو جهت و با مقادیر مختلف ( $0 \leq \Omega_z \leq 1$ ) در تعامل با یک جفت ورتكس در  $Re=100$  می‌پردازیم. در ادامه، توزیع عدد ناسلت بر روی سطح قطره با در نظر گرفتن چرخش، پیچش و چرخشی حول هر دو محور ذکر شده برای قطره با داشتن مقادیر یکسان در هر سه حالت، بررسی شده است. همچنین روابطی برای محاسبه عدد ناسلت در حوزه سرعت چرخشی  $0 \leq \Omega_z \leq 1$  ارائه شده است.

## ۵-۱- ساختار جریان

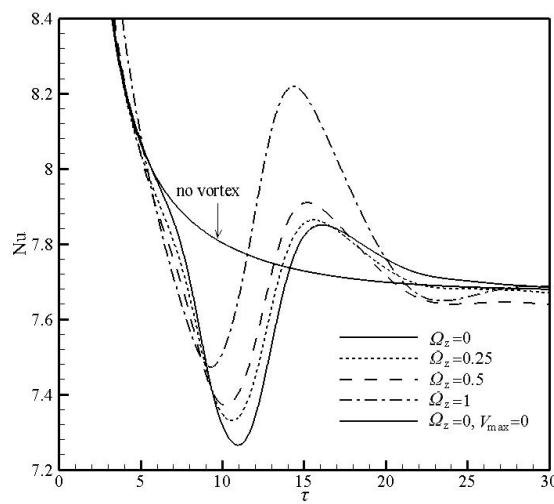
در "شکل ۴"، الگوهای جریانی و توزیع ورتیسیته عبور یک جفت ورتكس از روی یک قطره با و بدون چرخش نشان داده شده است. شرایط اولیه دو ورتكس به صورت  $V_{max}=0.3$ ,  $\varepsilon=\pm 1.5$ ,  $\sigma=1$  است که در فاصله اولیه  $10$  برابر شعاع قطره در جریان بالادست با جریان یکنواختی در  $Re=100$  به سمت



**Fig. 4** (a) Streamlines for the interaction of a pair of vortices with a non-rotating sphere at  $Re=100$ ,  $V_{max}=0.3$ ,  $\varepsilon=\pm 1.5$  and  $\sigma=1$  in the  $(x-y)$  plane; (b) Streamlines, and (c)  $z$ -component vorticity contours for the same flow conditions but rotating particle with  $\Omega_z=0.25$

شکل ۴ (a) خطوط جریان تعامل یک جفت ورتكس با یک قطره غیر چرخشی در صفحه  $(x-y)$ ؛ (b) خطوط جریان، و (c) کانتور مولفه  $z$  ورتسیته برای همان شرایط جریان و اما برای قطره چرخشی با  $\Omega_z=0.25$

$z$ ، نشان داده شده است. با توجه به شکل، مقدار متوسط عدد ناسلت با  $\Omega_z=1$  در حدود ۰.۴۵٪ کاهش نسبت به تعامل جفت ورتكس با قطره بدون سرعت چرخشی خواهد داشت. در مقایسه دو حالت تعامل و عدم تعامل جفت افزایش سرعت چرخشی تا  $0.5 \leq \Omega_z \leq 1$  تغییرات غیر قابل توجهی دارد و در



**Fig. 7** Time variation of the heat transfer coefficient of sphere interacting with a pair of vortices with positive circulation at  $Re=100$  for different rotational velocities ( $\Omega_z$ )

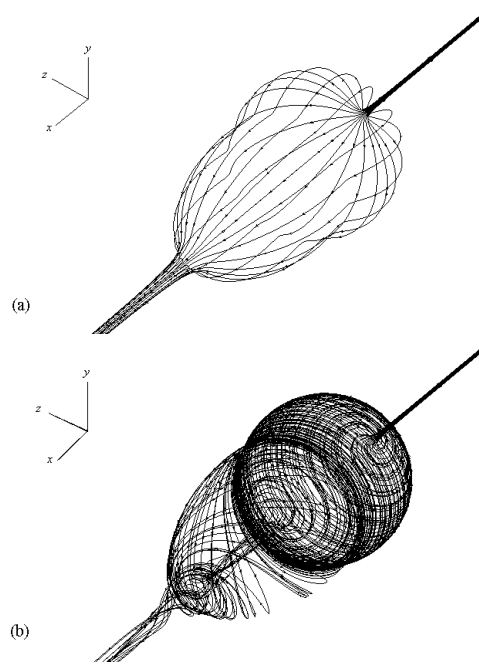
شکل 7 تغییرات زمانی مقدار متوسط ضریب انتقال حرارت قطره در تعامل با یک جفت ورتکس با گردش‌های مثبت در  $Re=100$  برای سرعت‌های چرخشی مختلف ( $\Omega_z$ )

ضریب انتقال حرارت قطره به ازای مقادیر  $\Omega_z \leq 0.5$  تغییرات ناچیزی دارد که بعد از آن در  $\Omega_z=1$ , نسبت به تعامل جفت ورتکس با قطره بدون سرعت چرخشی ۱.۳۱٪ افزایش یافته است. در مقایسه با نتایج بخش قبل، مقدار متوسط عدد ناسلت در تعامل جفت ورتکس با قطره بدون چرخش ( $\Omega_z=0$ ), مستقل از جهت گردش دو ورتکس می‌باشد که مقدار آن برای هر دو گردش ساعتگرد و پادساعتگرد،  $Nu=7.691$  بdest آمد است که همانند بخش قبل در حدود ۰.۷۴٪ نسبت به عدم حضور ورتکس در میدان جریان کاهش یافته است.

**5-2-3-2**- تعامل یک جفت ورتکس با گردش ساعتگرد و پادساعتگرد با قطره در "شکل 8"، جهت گردش ورتکس بالایی به صورت ساعتگرد و ورتکس پایینی پادساعتگرد می‌باشد. در زمان نزدیک شدن این دو ورتکس به قطره ( $\tau=10$ ), سرعت خطوط جریان و در نتیجه اثرات جابجایی در اطراف نیمکره جلویی قطره به شدت کاهش می‌یابد و کمترین نرخ انتقال حرارت از قطره در  $\tau=13.5$  است، یعنی زمانی که ورتکس بالایی و پایینی به ترتیب در تماس با نیمکره بالایی و پایینی قطره باشند.

با توجه شکل، مقدار متوسط عدد ناسلت در طی عبور دو ورتکس از روی قطره مستقل از تغییر سرعت چرخشی  $\Omega_z$  می‌باشد و در  $\Omega_z=1$  نیز افزایش بسیار اندکی در حدود ۰.۶٪ نسبت به مقدار متوسط عدد ناسلت در تعامل دو ورتکس با قطره بدون چرخش بدست آمده است. در مقایسه دو حالت حضور و عدم حضور ورتکس در میدان جریان با  $\Omega_z=0$  عدد ناسلت در تعامل جفت ورتکس با قطره در حدود ۵.۲۶٪ نسبت عدم تعامل آنها با قطره کاهش یافته است.

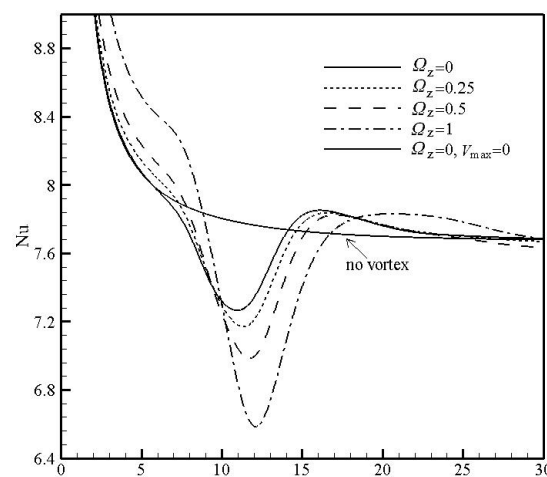
"شکل 9"، تغییرات ضریب انتقال حرارت قطره در طی عبور دو ورتکس با گردش پادساعتگرد و ساعتگرد به ترتیب ورتکس بالایی و پایینی را نشان می‌دهد. در این حالت نیز تغییر سرعت چرخشی قطره تأثیری بر رفتار حالت گذراي نرخ انتقال حرارت قطره ندارد که حتی با افزایش سرعت چرخشی تا مقدار  $\Omega_z=1$  در حدود ۰.۰۷٪ کاهش در مقدار متوسط عدد ناسلت نسبت به



**Fig. 5** Streamlines: (a) no spin and rotation, (b) with spin  $\Omega_z=0.5$   
شکل 5 خطوط جریان: (a) بدون پیچش و چرخش، (b) با پیچش  $\Omega_z=0.5$

ورتكس با قطره بدون سرعت چرخشی ( $\Omega_z=0$ ), روندی کاهشی و سپس افزایشی در مقدار عدد ناسلت در تعامل جفت ورتکس با قطره مشاهده می‌شود که مقدار آن در حدود ۰.۷۴٪ نسبت به عدم حضور ورتکس در میدان جریان کاهش یافته است.

**5-2-2-2**- تعامل یک جفت ورتکس با گردش یکسان پادساعتگرد با قطره در این بخش، جهت گردش دو ورتکس به صورت پادساعتگرد در نظر گرفته شده است. تغییرات مقدار متوسط عدد ناسلت در طی عبور دو ورتکس از روی قطره در "شکل 7" نشان داده شده است. همان‌طور که مشاهده می‌شود



**Fig. 6** Time variation of the heat transfer coefficient of sphere interacting with a pair of vortices with negative circulation at  $Re=100$  for different rotational velocities ( $\Omega_z$ )

شکل 6 تغییرات زمانی مقدار متوسط ضریب انتقال حرارت قطره در تعامل با یک جفت ورتکس با گردش‌های منفی در  $Re=100$  برای سرعت‌های چرخشی مختلف ( $\Omega_z$ )

جدول 2 اثر سرعت چرخشی قطره ( $\Omega_z$ ) و جهت گردش دو ورتسکس بر عدد ناسلت با  $Re=100$  و  $\varepsilon=\pm 1.5$  و  $\sigma=1$ ,  $V_{max}=0.3$

Table 2 Effect of particle angular velocity ( $\Omega_z$ ) and two vortices circulation direction on Nusselt number with  $V_{max}=0.3$ ,  $\sigma=1$  and  $\varepsilon=\pm 1.5$  at  $Re=100$

No vortex	$\Gamma_1 < 0$ $\Gamma_2 > 0$	$\Gamma_1 > 0$ $\Gamma_2 < 0$	$\Gamma_1 < 0$ $\Gamma_2 < 0$	$\Gamma_1 > 0$ $\Gamma_2 > 0$	$\Omega_z$
7.749	8.047	7.341	7.691	7.691	0
7.732	8.030	7.331	7.690	7.679	0.25
7.695	7.997	7.309	7.688	7.648	0.5
7.744	8.041	7.385	7.792	7.656	1
8.379	8.691	8.059	8.418	8.358	2

نیز عدم حضور ورتسکس در میدان جریان آورده شده است. مقادیر  $\bar{N}_u$  برای حالت بدون ورتسکس مربوط به نتایج مرجع [8] می‌باشد که برای مقایسه در جدول آورده شده‌اند.

با توجه به جدول، با افزایش سرعت چرخشی قطره تا مقدار  $\Omega_z \leq 0.5$  کاهش بسیار اندرکی در مقادیر  $\bar{N}_u$  در تمامی حالتها مشاهده می‌شود که بعد از آن  $\Omega_z > 0.5$  این مقادیر افزایش می‌یابد. به طور کلی می‌توان گفت با قرارگیری یک قطره با سرعت چرخشی  $\Omega_z$  در میدان جریان، در طی تعامل یک جفت ورتسکس با دنظر گرفتن شرایط اولیه دلخواه و موقعیت اولیه  $\varepsilon = \pm 1.5$  با قطره، با توجه به جهت گردش دو ورتسکس نرخ انتقال حرارت قطره می‌تواند افزایش و کاهش یابد. در واقع نسبت به عدم تعامل قطره با ورتسکس در میدان جریان، با برخورد یک جفت ورتسکس با جهت گردش پاد ساعتگرد و ساعتگرد به ترتیب برای ورتسکس بالای و پایینی با قطره، افزایش و در دیگر حالت کاهش می‌یابد. همچنین مشاهده شده است که با افزایش سرعت چرخشی قطره تا مقدار  $\Omega_z = 1$  تغییرات قبل توجهی در مقدار متوسط عدد ناسلت تنها در طی عبور دو ورتسکس با جهت گردش یکسان بوجود آمده است. ناگفته نماند که در تمامی شکل‌های این بخش، در سرعت چرخشی  $\Omega_z = 0.5$  مقدار نهایی  $\bar{N}_u$  زیر منحنی بدون چرخش و عدم حضور ورتسکس باقی می‌ماند.

5-3- اثر چرخش حول محور  $x$  ( $\Omega_x$ ) بر نرخ انتقال حرارت از قطره در این بخش، قطره چرخشی حول محور  $x$  (بیچش) که موازی با راستای جریان یکسان ساعتگرد و سپس پاد ساعتگرد برای هر دو ورتسکس، گردش ساعتگرد و پاد ساعتگرد به ترتیب برای ورتسکس بالای و پایینی و بر عکس گزارش شده است. شرایط و موقعیت اولیه دو ورتسکس در تمامی این حالتها همانند بخش قبل به صورت فاصله  $10R$  از مرکز قطره در راستای محور  $x$ ،  $\sigma = 1$  و  $\varepsilon = \pm 1.5$  در  $V_{max} = 0.3$  و قدرت  $Re = 100$  بروی هر چهار حالت جهت گردش دو ورتسکس و همچنین عدم حضور آن در میدان جریان بدست آمده است.

با توجه به جدول، با افزایش  $\Omega_x$  مقادیر متوسط عدد ناسلت در تمامی حالت‌های مورد بررسی افزایش یافته است که این تغییرات برای هر دو حالت گردش جفت ورتسکس به صورت ساعتگرد ( $\Gamma_1 > 0, \Gamma_2 > 0$ ) و گردش آن‌ها به صورت پاد ساعتگرد ( $\Gamma_1 < 0, \Gamma_2 < 0$ ) یکسان می‌باشد. با این حال، افزایش نرخ انتقال حرارت قطره تا مقادیر  $\Omega_x \leq 0.5$  تحت تأثیر پیچش قبل چشم‌پوشی می‌باشد که ایستاپ [18] و فوروتا و همکاران [19] نیز همین نتیجه را

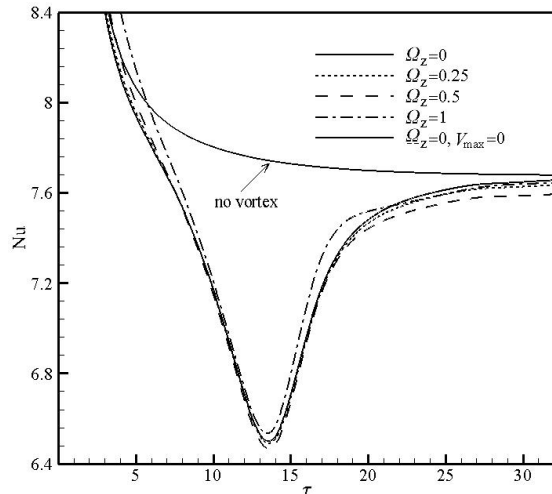


Fig. 8 Time variation of the heat transfer coefficient of sphere interacting with a pair of vortices with top-negative and bottom-positive at  $Re=100$  for different rotational velocities ( $\Omega_z$ )

شکل 8 تغییرات زمانی مقدار متوسط ضریب انتقال حرارت قطره در تعامل با یک جفت ورتسکس با گردش‌های بالا-منفی و پایین-مثبت در  $Re=100$  برای سرعت‌های چرخشی متفاوت ( $\Omega_z$ )

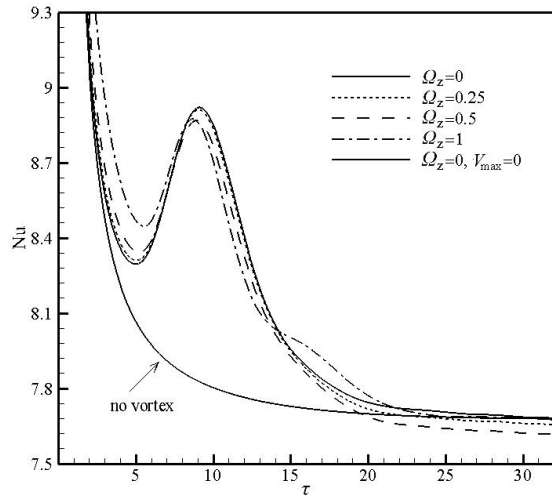


Fig. 9 Time variation of the heat transfer coefficient of sphere interacting with a pair of vortices with top-positive and bottom-negative at  $Re=100$  for different rotational velocities ( $\Omega_z$ )

شکل 9 تغییرات زمانی مقدار متوسط ضریب انتقال حرارت قطره در تعامل با یک

جفت ورتسکس با گردش‌های بالا-مثبت و پایین-منفی در  $Re=100$  برای سرعت‌های

چرخشی متفاوت ( $\Omega_z$ )

حالات عدم چرخش قطره در میدان جریان بوجود آمده است. 3.85% افزایش نیز در عدد ناسلت تعامل جفت ورتسکس با قطره بدون چرخش در مقایسه عبور جریان یکنواخت از روی قطره بدست آمده است.

با توجه به آنچه تا اینجا مشاهده شده، در طی تعامل یک جفت ورتسکس با یک قطره، تغییر سرعت چرخشی تا مقدار  $\Omega_z \leq 0.5$  تأثیر قبل توجهی در نرخ انتقال حرارت قطره ندارد که نتایج بدست آمده در مرجع [8] نیز همین نتیجه‌گیری را برای یک قطره بدون حضور ورتسکس در میدان جریان نشان می‌دهد. در "جدول 2"، مقادیر متوسط عدد ناسلت در حوزه  $5 \leq \tau \leq 30$  و مقادیر سرعت چرخشی  $\Omega_z \leq 0$  در چهار حالت جهت گردش دو ورتسکس و

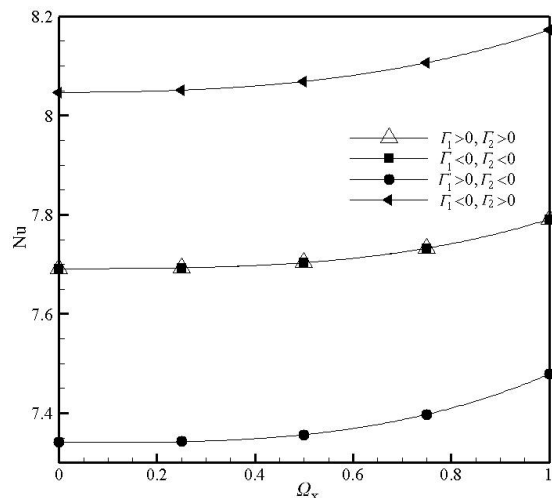


Fig. 10 Compare the values of heat transfer coefficient of the numerical solution with values of the fitted relationship 13(a-c)

شکل 10 مقایسه مقادیر ضریب انتقال حرارت از حل عددی با مقادیر حاصل از رابطه 13(a-c) برازش شده.

#### 5-4- اثر چرخش حول هر دو محور z ( $\Omega_z$ ) و x ( $\Omega_x$ ) بر نرخ انتقال حرارت از قطره

"جدول 4"، مقایسه توزیع عدد ناسلت قطره در تعامل با دو ورتسکس را در چهار حالت  $\Omega=0$ ,  $\Omega_z=0.25$ ,  $\Omega_x=0.25$  و چرخش حول محوری با زاویه 135 درجه از نقطه سکون جلویی در صفحه (x-z) (13(a-c)) با مقدار 0.17 نشان می‌دهد. مقادیر متوسط  $Nu$  در بازه زمانی  $5 \leq t \leq 30$  در پنج حالت تعامل دو ورتسکس با چرخش یکسان ساعتگرد، پادساعتگرد، ساعتگرد و پادساعتگرد و ساعتگرد با قطره و همچنین بدون ورتسکس آورده شده‌اند.

با توجه به جدول، بیشترین تغییرات در ضریب انتقال حرارت قطره نسبت به عدم چرخش آن در  $\Omega=0.25$  حول محور x بوجود آمده است. به علاوه، چرخش قطره حول هر دو محور x و z ( $\Omega_z=\Omega_x=0.17$ ) بیشتر از چرخش آن حول محور z می‌باشد.

"شکل 11"، خطوط دما ثابت در صفحه (x-y) و توزیع محلی ناسلت را بر روی نیمکره جلویی قطره در زمان  $t=10$  که دو ورتسکس در نزدیکی قطره قرار دارند، نشان می‌دهد. گردش دو ورتسکس متفاوت از هم به صورت ساعتگرد و پادساعتگرد به ترتیب برای ورتسکس بالایی و پایینی می‌باشد. در شکل 11a خطوط دما ثابت در چرخش قطره حول محور x به صورت متقاضن نسبت به محور x و در دو حالت دیگر غیر متقاضن می‌باشند که در چرخش حول محور z، این عدم تقارن بیشتر شده است. در شکل‌های 11b و 11c، در حالت

جدول 4 مقایسه عدد ناسلت برای سه محور چرخش قطره در تعامل با دو ورتسکس با  $Re=100$ ,  $\epsilon=\pm 1.5$ ,  $\sigma=1$ ,  $V_{max}=0.3$

Table 4 Comparison of Nusselt number for three rotation axes of sphere interacting with two vortices with  $V_{max}=0.3$ ,  $\sigma=1$  and  $\epsilon=\pm 1.5$  at  $Re=100$

No vortex	$\Gamma_1 < 0$ $\Gamma_2 > 0$	$\Gamma_1 > 0$ $\Gamma_2 < 0$	$\Gamma_1 < 0$ $\Gamma_2 < 0$	$\Gamma_1 > 0$ $\Gamma_2 > 0$	$\Omega=0$
7.749	8.047	7.341	7.691	7.691	$\Omega_z=0$
7.732	8.030	7.331	7.690	7.679	$\Omega_z=0.25$
7.752	8.051	7.343	7.693	7.693	$\Omega_z=0.25$
7.743	8.042	7.338	7.693	7.686	$\Omega_z=\Omega_x=0.17$

جدول 3 اثر سرعت چرخشی قطره ( $\Omega_x$ ) و جهت گردش دو ورتسکس بر عدد ناسلت با  $Re=100$ ,  $\epsilon=\pm 1.5$  و  $\sigma=1$ ,  $V_{max}=0.3$

Table 3 Effect of particle angular velocity ( $\Omega_x$ ) and two vortices circulation direction on Nusselt number with  $V_{max}=0.3$ ,  $\sigma=1$  and  $\epsilon=\pm 1.5$  at  $Re=100$

No vortex	$\Gamma_1 < 0$ $\Gamma_2 > 0$	$\Gamma_1 > 0$ $\Gamma_2 < 0$	$\Gamma_1 < 0$ $\Gamma_2 < 0$	$\Gamma_1 > 0$ $\Gamma_2 > 0$	$\Omega_x$
7.749	8.047	7.341	7.691	7.691	0
7.752	8.051	7.343	7.693	7.693	0.25
7.768	8.069	7.356	7.703	7.703	0.5
7.876	8.172	7.478	7.791	7.791	1
8.461	8.707	8.161	8.348	8.348	2

(آزمایشگاهی) برای یک قطره منفرد در میدان جریان بدست آورده‌اند. اما با افزایش پیچش تا مقدار 1  $\Omega_x=1$  و  $\Omega_x=2$  تغییرات قابل توجهی در  $\bar{Nu}$  وجود آمده است که این تغییرات با توجه به جهت گردش ورتسکس‌ها متفاوت می‌باشد.

مقایسه نتایج بدست آمده در جدول 2 و 3 نشان می‌دهد که نرخ انتقال حرارت قطره با چرخش حول محور x بیشتر از مقدار مربوطه چرخش حول محور z است و این تغییرات در هر دو حالت تعامل دو ورتسکس با قطره و عدم حضور آن در میدان جریان مشاهده می‌شود.

استخراج رابطه‌ای برای عدد ناسلت بر حسب سرعت چرخشی قطره می‌تواند در بسیاری از کاربردها مفید باشد؛ مواردی از قبیل مطالعه رفتار قطرات سوخت در محفظه‌های احتراق و قطرات مایع خوارکی در خشک‌کن‌های پاششی بهمنظور بهبود فرآیندها. در این پژوهش در یک عدد پرانتل ثابت (Pr=1)، اقدام به ارائه رابطه‌ای برای عدد ناسلت متوسط شده است. روابط 13(a-c)، تغییرات عدد ناسلت را به ازای تغییرات سرعت چرخشی قطره در بازه  $0 \leq \Omega_x \leq 0.5$  در 4 حالت گردش دو ورتسکس با حداکثر خطای 0.004% نشان می‌دهد.

$$(\Gamma_1 > 0, \Gamma_2 > 0), (\Gamma_1 < 0, \Gamma_2 < 0) \\ \bar{Nu} = \bar{Nu}_{\Omega=0} + A\Omega_x + B\Omega_x^2 + C\Omega_x^3$$

$$A = 3.366 \times 10^{-3} \\ B = -1.92 \times 10^{-2}, C = 1.125 \times 10^{-1} \quad (13-a)$$

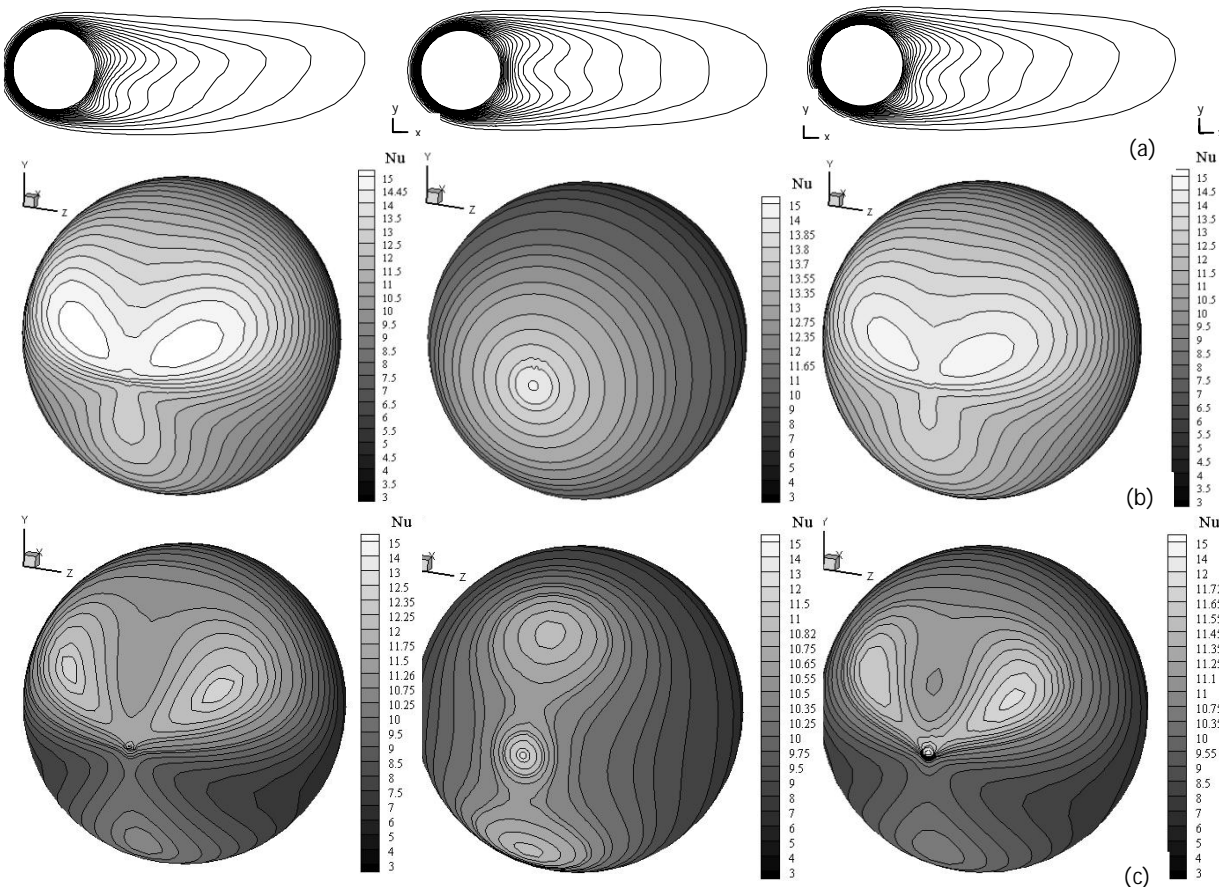
$$(\Gamma_1 > 0, \Gamma_2 < 0) \\ \bar{Nu} = \bar{Nu}_{\Omega=0} + A\Omega_x + B\Omega_x^2 + C\Omega_x^3$$

$$A = -1.544 \times 10^{-3} \\ B = -8.455 \times 10^{-3}, C = 1.472 \times 10^{-1} \quad (13-b)$$

$$(\Gamma_1 < 0, \Gamma_2 > 0) \\ \bar{Nu} = \bar{Nu}_{\Omega=0} + A\Omega_x + B\Omega_x^2 + C\Omega_x^3$$

$$A = 8.065 \times 10^{-4} \\ B = 4.822 \times 10^{-2}, C = 7.627 \times 10^{-2} \quad (13-c)$$

در هریک از معادلات بالا،  $\bar{Nu}_{\Omega=0}$  مقدار متوسط عدد ناسلت در تعامل دو ورتسکس با قطره بدون چرخش می‌باشد که با توجه به شرایط و ساختار اولیه دو ورتسکس مقدار متفاوتی خواهد داشت. این معادلات نشان می‌دهند که ضریب انتقال حرارت قطره‌ای با سرعت چرخشی  $\Omega_x$  و در تعامل با دو ورتسکس، برابر با مجموع مقدار متوسط عدد ناسلت قطره بدون چرخش و در تعامل با دو ورتسکس ( $\bar{Nu}_{\Omega=0}$ ) و تابعی از  $\Omega_x$  می‌باشد. با توجه به مقادیر ارائه شده در جدول، رابطه برآش شده برای هر دو حالت گردش یکسان ساعتگرد و پادساعتگرد جفت ورتسکس یکسان می‌باشد. در "شکل 10"، مقایسه نتایج بدست آمده از حل عددی و مقادیر حاصل از رابطه ارائه شده نشان داده شده است. با توجه به شکل، منحنی برآش دو حالت تعامل جفت ورتسکس با جهت‌های گردش یکسان با قطره بر یکدیگر منطبق شده‌اند.



**شکل ۱۱** (a) مقایسه خطوط دما ثابت با یک قطره با جهت‌های چرخش متفاوت در تعامل با دو ورتسکس در  $Re=100$ . (b) توزیع محلی عدد ناسلت در همان شرایط و بدون تعامل با ورتسکس؛ (c) در تعامل با دو ورتسکس

در بروزی اثر عدد رینولدز بر نرخ انتقال حرارت قطره، چهار عدد رینولدز متفاوت ۰.۲۵، ۰.۵، ۰.۷ و ۱.۰ با  $V_{max}=0.3$ ،  $\sigma=1$  و  $t=10$  برای دو ورتسکس با گردش ساعتگرد ورتسکس بالایی و پادساعتگرد ورتسکس پایینی و سرعت چرخشی  $\Omega_z=0.25$  برای هر دو حالت چرخش قطره حول محور  $z$  و  $x$  در نظر گرفته شده است. "شکل ۱۲"، تغییرات حالت گذاری ضریب انتقال حرارت قطره به‌ازای تغییرات عدد رینولدز را نشان می‌دهد. با توجه به شکل، تغییرات قابل توجهی در مقادیر عدد ناسلت با افزایش عدد رینولدز مشاهده می‌شود.

واضح است که نوسانات بوجود آمده در اعداد رینولدز بالاتر شدیدتر می‌باشد؛ در واقع در اعداد رینولدز پایین‌تر اثرات لزجت غالب بوده و تغییرات اینرسی را که توسط دو ورتسکس بوجود آمده است، خنثی می‌کنند. به علاوه، این تغییرات در چرخش قطره حول دو محور  $x$  و  $z$  تقریباً یکسان می‌باشد و تنها در  $Re=100$  اختلاف بسیار کمی در این دو حالت بوجود آمده است.

## ۶- نتیجه‌گیری

با پاشش قطرات به محیط هم‌رفتی و تعامل بین آن‌ها و ورتسکس‌هایی با اندازه، قدرت و موقعیت‌های متفاوت، تغییراتی در نرخ انتقال حرارت قطرات بوجود

دو ناحیه با اعداد ناسلت مشابه به صورت متقاضی نسبت به صفحه (x-z) در نیمکره بالایی قطره ظاهر شده‌اند که در حالت تعامل دو ورتسکس با قطره (شکل ۱۱c)، عدد ناسلت در این دو ناحیه کاهش یافته‌اند. با چرخش قطره حول محور  $z$ ، توزیع متفاوتی از عدد ناسلت بر روی سطح قطره نسبت به حالت قبل مشاهده می‌شود. با توجه به مقادیر  $\bar{Nu}$  در جدول ۴ که نشان‌دهنده افزایش نرخ انتقال حرارت در چرخش قطره حول محور  $x$  نسبت به چرخش آن حول محور  $z$  می‌باشد (ا) در نظر گرفتن مقادیر یکسان، مقایسه توزیع عدد ناسلت در شکل ۱۱b نشان می‌دهد که مقادیر ضریب انتقال حرارت قطره در اطراف نقطه سکون در  $\Omega_z=0.25$  بیشتر از دو حالت دیگر است. شکل ۱۱c توزیع متفاوت عدد ناسلت در سه حالت چرخش قطره حول محور  $x$  و محوری در صفحه (x-z) با فاصله یکسان از دو محور  $x$  و  $z$  در زمان قرارگیری دو ورتسکس در نزدیکی قطره را نشان می‌دهد. در  $\Omega_z=0.25$  دو ناحیه با مقادیر یکسان عدد ناسلت ظاهر شده‌اند که کاملاً متفاوت با توزیع ناسلت در دو حالت دیگر می‌باشد.

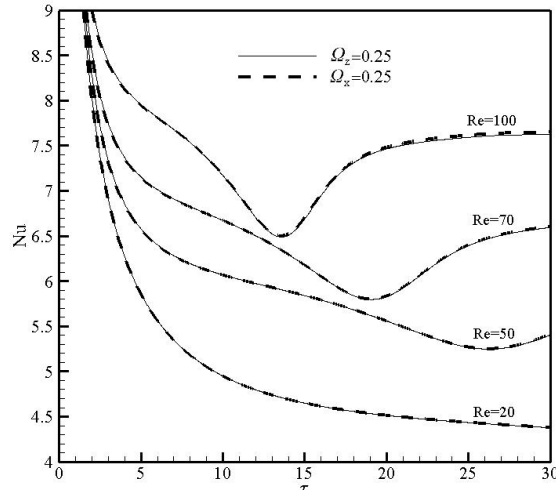
## ۵-۵- اثر عدد رینولدز بر نرخ انتقال حرارت قطره

پاششی برای محاسبه ضریب انتقال حرارت قطره‌ای در تعامل با یک جفت ورتسکس بر حسب سرعت چرخشی قطره در محدوده ذکر شده راشه شده است که این روابط با توجه به جهت گردش ورتسکس‌ها ضرایب متفاوتی دارند؛ همچنین، تطبیق خوبی بین نتایج بدست آمده از حل عددی با مقادیر حاصل از این روابط مشاهده شد.

- در ادامه اثر چرخش قطره حول سه محور  $x$ ,  $y$  و محوری در صفحه ( $x$ - $z$ ) با فاصله یکسان از دو محور، بر مقدار متوسط عدد ناسلت بررسی شد که نتایج نشان می‌دهد بیشترین تغییرات بوجود آمده ناشی از چرخش قطره حول محور  $x$  می‌باشد. با مقایسه نتایج دو حالت  $\Omega_z=0.25$  و  $\Omega_x=0.25$  تغییرات قبل توجهی در توزیع محلی عدد ناسلت در سطح قطره مشاهده شد که با در نظر گرفتن زمان یکسان در طی نزدیک شدن دو ورتسکس به قطره، مقادیر بیشتری از  $\bar{Nu}$  در اطراف نقطه سکون قطره در چرخش آن حول محور  $z$  نسبت به دو محور دیگر گزارش شده است؛ به علاوه، در چرخش قطره حول محور  $z$  توزیع عدد ناسلت بر روی سطح قطره بسیار متفاوت با نتایج مربوط به چرخش قطره حول دو محور دیگر مشاهده شده است. در مقایسه خطوط دما ثابت در اطراف قطره نیز، در چرخش قطره حول محور  $x$  تقارن این خطوط نسبت به محور  $x$  حفظ شده که در دو حالت دیگر این تقارن از بین رفته است؛ همچنین، در چرخش حول محور  $z$  این عدم تقارن بیشتر شده است.
- در بررسی عدد رینولدز بر نرخ انتقال حرارت قطره، علاوه بر افزایش آن در طی افزایش عدد رینولدز، تغییرات یکسانی در چرخش قطره حول دو محور عمود بر هم  $z$  و  $x$  مشاهده شده که تنها در اعداد رینولدز بالاتر ( $Re=100$ ) اختلاف بسیار کمی در منحنی عدد ناسلت دو حالت ذکر شده در زمان‌های بالاتر بوجود آمده است.

## 7- فهرست عالیم

شعاع هسته ورتسکس (μm)	$a$
قطر قطره (μm)	$D$
ضریب انتقال حرارت جالجایی	$h$
ضریب انتقال حرارت هدایتی	$k$
بردار نرمال واحد	$\vec{n}$
عدد ناسلت	$Nu$
فشار (Pa)	$P$
عدد پرانتل	$Pr$
شعاع قطره (μm)	$R$
عدد رینولدز	$Re$
دمای (پی بعد)	$T$
خصائص کروی	$r, \theta, \varphi$
سرعت جریان یکنواخت ( $m s^{-1}$ )	$U_\infty$
مولفه‌های سرعت در مختصات $x, y, z$	$u, v, w$
بردار سرعت (پی بعد)	$\vec{V}$
ماکریزم سرعت مماسی ورتسکس (پی بعد)	$V_{max}$
عدد ویر	$We$
موقعیت اولیه ورتسکس (μm)	$x_i, y_i$
عالیم یونانی	$\varepsilon$
لزجت سینماتیکی ( $m^2 s^{-1}$ )	$v$
فاصله انحراف ورتسکس از محور $x$ (پی بعد)	$\delta$



شکل 12 تغییرات زمانی ضریب انتقال حرارت به عنوان تابعی از  $Re$

می‌آید. در مطالعات قبلی، دینامیک قطره در طی تعامل با یک ورتسکس بررسی شده است که نتایج آن نشان می‌دهد با در نظر گرفتن محوری همراستا با جهت جریان ورودی که از مرکز قطره عبور می‌کند، قرارگیری ورتسکس در بالا و پایین این محور تأثیر متفاوتی بر نرخ انتقال حرارت قطره همراه با چرخش دارد. بنابراین، حضور همزمان دو ورتسکس در بالا و پایین محور ذکر شده، می‌تواند نتایج متفاوت را بدست دهد. به علاوه، مطالعه‌ای به منظور بررسی اثر تعامل یک جفت ورتسکس بر نرخ انتقال حرارت قطره همراه با چرخش حول محورهای متفاوت تاکنون نگرفته است. در این راستا، این پژوهش با هدف بررسی اثرات تعامل دو ورتسکس با یک قطره چرخشی انجام شده که با فرض ساختار مشابه برای ورتسکس‌ها، تنها به مطالعه اثر جهت گردش دو ورتسکس بر نرخ انتقال حرارت قطره پرداخته است. ورتسکس‌ها در یک میدان جریان لزج و تراکم‌ناپذیر همراه با جریان با قطره برخورد کرده و از آن عبور می‌کنند که در طی این تعامل‌ها اثر سرعت چرخشی قطره در محدوده  $0 \leq \Omega \leq 1$  حول سه محور  $z$ ,  $x$  و محوری با زاویه ۱۳۵ درجه از نقطه سکون قطره در صفحه ( $x$ - $z$ ) در حوزه  $20 \leq Re \leq 100$  با عدد پرانتل  $Pr=1$  به روش عددی بررسی شده است. با در نظر گرفتن شرایط اولیه یکسان برای دو ورتسکس به صورت فاصله  $10R$  از مرکز قطره در راستای محور  $z$ ،  $\epsilon = \pm 1.5$  و  $\Omega = 1$  و قدرت  $V_{max} = 0.3$  با در نظر گرفتن ۴ حالت متفاوت در جهت گردش آن‌ها نتایج زیر بدست آمده است:

- با افزایش سرعت چرخشی تا مقدار  $\Omega \leq 0.5$  کاهش بسیار کمی در مقادیر متوسط عدد ناسلت در هر دو حالت تعامل و عدم تعامل ورتسکس‌ها با قطره بوجود آمده است و بعد از آن ( $\Omega \geq 1$ ،  $\bar{Nu}$  افزایش یافته) که بیشترین تغییرات در طی تعامل جفت ورتسکس با جهت گردش یکسان مشاهده شده است.
- در چرخش قطره حول محور  $x$  ( $\Omega_x$ )، تغییرات قبل توجهی در مقادیر متوسط عدد ناسلت نسبت به چرخش قطره حول محور  $z$  بدست آمده است. این تغییرات به صورت افزایشی در کل بازه  $0 \leq \Omega_x \leq 1$  در هر دو حالت تعامل و عدم تعامل ورتسکس‌ها با قطره بوجود آمده است که به ازای مقادیر  $\Omega_x \leq 0.5$  قابل چشم‌پوشی می‌باشد. روابطی به منظور استفاده در کاربردهای عملی مانند تولید پودرهای خوارکی در خشک‌کن‌های

- streamwise direction, *Journal of Fluid Mechanics*, Vol. 461, No. 2, pp. 365-385, 2002.
- [8] H. Niazmand, M. Renksizbulut, Flow past a spinning sphere with surface blowing and heat transfer, *Journal of Fluids Engineering*, Vol. 127, No. 1, pp. 163-171, 2004.
- [9] H. Niazmand, M. Renksizbulut, Viscous interaction between a vortex tube and a rotating spherical particle, *Particle & Particle Systems Characterization*, Vol. 20, No. 1, pp. 47-61, 2003.
- [10] H. Niazmand, M. Renksizbulut, Heat transfer from a rotating sphere interacting with a vortex, *International Journal of Heat and Mass Transfer*, Vol. 47, No. 10-11, pp. 2269-2281, 2004.
- [11] I. Kim, S. Elghobashi, W. A. Sirignano, Unsteady flow interaction between a pair of advected vortex tubes and a rigid sphere, *International Journal Multiphase flow*, Vol. 23, No. 1, pp. 1-23, 1997.
- [12] M. Masoudi, W. A. Sirignano, The influence of an advecting vortex on the heat transfer to a liquid droplet, *International Journal Heat Mass Transfer*, Vol. 40, No. 15, pp. 3663-3673, 1997.
- [13] P. G. Saffman, *Vortex dynamic*, Cambridge: Cambridge University Press, pp. 20-45, 1992.
- [14] I. Kim, S. E. Elghobashi, W. A. Sirignano, Unsteady flow interactions between an advected cylindrical vortex tube and a spherical particle, *Journal Fluid Mechanics*, Vol. 288, No. 1, pp. 123-155, 1995.
- [15] H. Niazmand, M. Anbarsooz, Slip flow over micron sized particles at intermediate Reynolds number, *Journal of Mechanical Engineering*, Vol. 40, No. 2, pp. 67-76, 2010. (in Persian)
- [16] A. J. Chorin, Numerical solution of Navier-Stokes equations, *Mathematical Computation*, Vol. 22, No. 104, pp. 745-762, 1968.
- [17] H. A. Dwyer, Calculations of droplet dynamics in high temperature environments, *Progress in Energy & Combustion Science*, Vol. 15, No. 2, pp. 131-158, 1989.
- [18] T. D. Eastop, The influence of rotation on the heat transfer from a sphere to an air stream, *International Journal of Heat & Mass Transfer*, Vol. 16, No. 10, pp. 1954-1957, 1973.
- [19] T. Furuta, T. Jimbo, M. Okazaki, R. Toei, Mass transfer to a rotating sphere in an axial stream, *Journal of Chemical Engineering of Japan*, Vol. 8, No. 6, pp. 456-462, 1975.
- [19] H. Niazmand, M. Renksizbulut, Transient three-dimensional heat transfer from rotating spheres with surface blowing, *Chemical Engineering science*, Vol. 58, No. 15, pp. 3535-3554, 2003.

شعاع هسته ورتسکس (پی بعد)	$\sigma$
تنش سطحی (Nm <sup>-2</sup> )	$\sigma'$
گردش ورتسکس ( $\mu\text{m}^2\text{s}^{-1}$ )	$\Gamma$
زمان (پی بعد)	$\tau$
مختصات عمومی غیرمعتمد	$\zeta, \eta, \zeta$
تابع جریان ( $\mu\text{m}^2\text{s}^{-1}$ )	$\psi$
سرعت چرخشی ( $\Omega=R\omega/U_\infty$ ) (پی بعد)	$\Omega$
سرعت زاویه‌ای (rads <sup>-1</sup> )	$\omega$
زیرنویس‌ها	
خاصیت جریان	$f$
سطح	$s$
جریان یکنواخت	$\infty$

#### ۸- مراجع

- [1] E. Poon, A. Ooi, M. Giacobello, R. Cohen, Laminar flow structures from a rotating sphere: Effect of rotating axis angle, *International Journal of Heat and Fluid Flow*, Vol. 31, No. 5, pp. 961-972, 2010.
- [2] J. L. Best, The influence of particle rotation on wake stability at particle Reynolds number,  $Re_p < 300$ -Implications for turbulence modulation in two-phase flows, *International Journal of Multiphase Flow*, Vol. 24, No. 5, pp. 693-720, 1998.
- [3] G. M. Faeth, Mixing, transport and combustion in sprays, *Progress Energy Combustion Science*, Vol. 13, No. 4, pp. 293-345, 1987.
- [4] A. J. Chorin, *Vorticity and turbulence*, pp. 91-108, Berlin: Springer-Verlag, 1994.
- [5] H. Sakamoto, H. Haniu, The formation mechanism and shedding frequency of vortices from a sphere in uniform shear flow, *Journal of Fluid Mechanics*, Vol. 287, No. 1, pp. 151-171, 1995.
- [6] R. Kurose, S. Komori, Drag and lift forces on a rotating sphere in a linear shear flow, *Journal of Fluid Mechanics*, Vol. 384, No. 1, pp. 183-206, 1999.
- [7] D. Kim, H. Choi, Laminar flow past a sphere rotating in the